

## تحلیل هیدرogeوژئومورفولوژیک آبخوان کارستی چشمه ساسان-دشت ازدان فارس

سید موسی حسینی\* - استادیار گروه هیدرogeوژئومورفولوژی دانشکده جغرافیا دانشگاه تهران.  
مهران مقصودی - دانشیار گروه هیدرogeوژئومورفولوژی دانشکده جغرافیا دانشگاه تهران.  
ابوالقاسم گورابی - استادیار گروه هیدرogeوژئومورفولوژی دانشکده جغرافیا دانشگاه تهران.  
هاجر قدیری - دانشجوی کارشناسی ارشد هیدرogeوژئومورفولوژی دانشکده جغرافیا دانشگاه تهران.

تأیید نهایی: ۱۳۹۴/۰۵/۲۰ پذیرش مقاله: ۱۳۹۴/۱۰/۲۰

### چکیده

در دو دهه اخیر حفاظت و مدیریت صحیح منابع آب موجود در آبخوان‌های کارستی، به دلیل اهمیت ویژه آن‌ها در تامین آب شرب، مورد توجه بسیار بوده است. چشمه ساسان در جنوب غرب استان فارس، در سمت راست رودخانه شاپور و در قاعده سازند آسماری-جهرم ظاهر شده است. آب این چشمه در شهرستان کازرون در زمینه اقتصاد کشاورزی و تامین آب منطقه بخصوص شهر بوشهر از اهمیت زیادی برخوردار است. در این تحقیق به منظور طبقه بندی آبخوان کارستی و شبیه سازی منحنی فروکش آبدهی و تخمین حجم آب ذخیره شده در بخش اشباع و غیر اشباع آبخوان کارستی از روش مانجین استفاده شد. نتایج نشان دهنده شبیه ملایم منحنی فروکش و ذخیره دینامیکی زیاد که کمتر تحت تاثیر بارش قرار می‌گیرد است. از نظر طبقه بندی مانجین، سیستم آبخوان کارستی منطقه نشستی، دارای عمق زیاد و درز و شکاف فراوان بصورت جزء یا تماماً در زیر رسوبات با نفوذپذیری کم محصور شده است. روش مانجین هماهنگی نسبتاً خوبی در شبیه سازی مقادیر دبی های دوره فروکش طی سالهای مختلف دارد و حداقل درصد خطای روش مانجین در برآورد حجم آب ذخیره شده در آبخوان کارستی برابر با  $5/51$  درصد می‌باشد. بطور متوسط حدود ۷۵ درصد از کل حجم آب ذخیره شده سالانه در آبخوان مربوط به بخش ذخیره اشباع (جريان پایه) و بقیه مربوط به غیر اشباع (جريان سریع) است. در این آبخوان کارستی، شبکه کارستی بخوبی توسعه نیافته است و سیستم از نوع افسان است. با توجه به اینکه عمدتاً منطقه از آهک تشکیل شده است اشکال کارستیک در منطقه توسعه یافته‌اند که نقش مهمی در جذب نزولات جوی و نفوذ آب دارند و در نهایت با توجه به قرار گیری چشمه ساسان در سازند آسماری-جهرم و حجم آب، کارست زایی در قسمت‌های پایین دست، به صورت انواع لایه‌ها نمایان می‌شود.

واژگان کلیدی: چشمه ساسان، آبخوان کارستی، روش مانجین، شبیه سازی منحنی فروکش، طبقه بندی آبخوان

## مقدمه

در سال های اخیر، رشد جمعیت و به تبع آن کمبود منابع آب شرب، اهمیت مطالعه آبخوان های کارستی را دو چندان نموده است. بسیاری از منابع آب کارستی در ارتفاعات و کوهستانها قرار دارند و از این لحاظ کمتر در معرض آلودگیها می باشند(کریمی وردنجانی، ۱۳۸۹، ۶). تقریباً یک پنجم از سطح کره زمین توسط سازندهای مختلف کربناته پوشیده شده است(لاموراکس<sup>۱</sup>، ۱۹۹۱). از طرف دیگر بیش از ۲۵ درصد جمعیت جهان یا مستقیماً بر روی مناطق کارستی زندگی می کنند و یا آب مورد نیاز خود را از منابع کارستی تامین می نمایند. در ایران حدود ۱۱ درصد (بر اساس نظر احمدی پور، حدود ۱۳ درصد) از سطح کل کشور و حدود ۹۰ درصد از ارتفاعات زاگرس از سازندهای کارستی تشکیل شده است (افراسیابیان، ۱۳۷۷). آبخوانهای کارستی، مخازن زیرزمینی ناهمگن هستند که آب در شبکه های مرتبط به هم شکاف ها، مغاره ها و مجاري درون آنها جمع آوری می شوند. سطح ایستابی در این آبخوانها یک سطح پیوسته نیست و دارای شبی منطقه ای و محلی است. آبخوان های کارستی در ازای پدیده های دینامیکی که نسبت به زمان و مکان عمل می نمایند توسعه پیدا می کنند. موقعیت هندسی آنها به سرعت تغییر می یابد(میلانویچ<sup>۲</sup>، ۱۹۸۱، ۱۲۴). بارزترین نتیجه کارستی شدن مورفولوژی خاصی است که مناطق کارستی را از نواحی دیگر غیر کارستی کاملاً تمیز می سازد شکلهای کارست و تکامل تدریجی آنها نتیجه مستقیم عمل انحلال آب در محیط های کربناته انحلال پذیر می باشد(میلانویچ، ۱۹۸۱؛ ۶۰). جریان آب و ساختارهای تکتونیکی از مهم ترین عوامل کارستی شدن سنگ های انحلال پذیر هستند(قبادی، ۱۳۸۷). واژه کارست رابطه مستقیم با سنگهای کربناته، بخصوص بیشتر با سنگهای آهکی و دولومیتی دارد، هرچند فرایند کارستی شدن در سازندهای گچی، ژیپس و نمک نیز اتفاق می افتد(میلانویچ، ۱۹۸۱؛ ۲۶). سیستم های آبخوان کارستی غالباً جریان آب مرکز خود را به یک چشممه می بزرگ تخلیه می کنند که شکل و نرخ فرود هیدرولوگراف آن می تواند اطلاعات قابل توجهی در مورد ذخیره و خصوصیات ساختاری آبخوان دارا باشد. در سفره های کارستی، در شرایطی که میزان جریان کم بوده و یا حالت عادی باشد، آب از تخلخل زمینه (ماتریکس) وارد مجاري می گردد. در حالیکه در هنگام بالا بودن جریان (سیلابی) و گرادیان هیدرولیکی کافی، آب از مجاري وارد زمینه می گردد(مارتن و اسکرتون<sup>۳</sup>، ۲۰۰۱). در نتیجه جریان افشار زمینه، آبدهی چشممه را در هنگام جریان پایه کنترل می نماید، در حالیکه بعد از بارندگی ها، جریان مجرایی قسمت عمده ای جریان چشممه را تامین می کند(کریمی وردنجانی، ۱۳۸۹؛ ۲۷).

با توجه به اهمیت مناطق کارستی در تغذیه منابع آب زیرزمینی تحقیقات نسبتاً جامعی در رابطه با کارست در جهان و ایران و بخصوص زاگرس انجام گرفته است. از آنجا که تحقیقات انجام شده در خارج از کشور در زمینه بررسی هیدرولوژی چشممه های متنوع و فراوان می باشد می توان به چند مورد اشاره کرد، که عبارتند از: بوناچی<sup>۴</sup> (۱۹۹۳) به آنالیز جزئیات و توصیف موارد متعددی از نقاط شکست در منحنيهای فروکش از طریق ارزشهای مختلف ضریب فروکش در معادله مایلت<sup>۵</sup> (۱۹۰۵)، پرداخته است وی رابطه بین ضریب فروکش و ضریب مخزن خطی را با استفاده از هیدرولوگراف آب زیرزمینی بررسی، و نشان داده است که ضریب مخزن خطی با توجه به زمان، طبق تغییرات شرایط جریان در توده سنگی کارستی تغییر میکند. پادیلا<sup>۶</sup> و همکاران (۱۹۹۴) هیدرولوگراف های فروکش چهار چشممه کارستی در اروپا را توسط معادلات مانجین و کتابیں مورد تحلیل قرار دادند و درصد مشارکت جریان سریع و پایه از حجم کل آب ذخیره شده در آبخوان را تعیین نمودند. تد و کارول<sup>۷</sup> (۱۹۹۸)، به کمک مدلسازی عددی جریان مجرایی، واکنش هیدرولوگراف چشممه را

<sup>۱</sup>. LaMoreaux

<sup>۲</sup>. Milanovic

<sup>۳</sup>. Martin and Screamton

4- Bonacci

5- Maillet

6- Padilla

7- Todd and Carol

در مقابل پاسخ هیدرولوژیکی آبخوان کارستی مورد بررسی قرار دادند. سامانی<sup>۱</sup> (۲۰۰۱) در تحقیقی به بررسی رابطه بین بارش و ارتفاع سطح ایستابی و آبدهی چشمه‌های کارستی حوضه‌ی مهارلو در استان فارس به کمک روش‌های سری زمانی دوگانه پرداخت و نتایج تحقیق حاکی از آن است که یک تاخیر زمانی ۱ تا ۳ ماهه بین رخداد بارش و عکس‌عمل سطح ایستابی در چاهها و آبدهی چشمه‌ها وجود دارد. اشجاری و رئیسی (۲۰۰۷) به بررسی تاثیر لیتوژئی در شیمی آب آبخوان‌های کارستی در محدوده ای زاگرس جنوب شرقی در ایران پرداختند. در این پژوهش از اطلاعات هیدروشیمی ۱۹۵ چشمه استفاده شده و نتایج نشان می‌دهد که ترکیب سنگ شناسی سازندها و وسعت رخمنون آنها در حوضه تغذیه کننده چشمه کارستی دارای اثر عمده ای بر کیفیت آب بوده و رخمنون مارن و آهک مارنی در حوضه تغذیه کننده چشمه کارستی میتواند آب بیکربناته را به بیکربنات سولفات تغییر دهد. رخمنون گچ و انیدریت آبی با تیپ سولفاته تولید می‌کند. گنبدهای نمکی و آب شور دریاچه‌های مجاور و آبخوان‌های آبرفتی منبع اصلی آب با تیپ کلرید هستند.

تحقیقات انجام شده در داخل ایران نیز عبارتند از: مقصودی و همکاران (۱۳۸۸) تحولات کارستی چشمه‌های اصلی منطقه پرآو بیستون در مقایسه با چشمه‌های دیگر واقع در زون زاگرس چین خورده براساس فاکتورهای هیدرولوژیکی پرداختند هیدروگراف چشمه‌ها در توده پرآو بیستون متاثر از توسعه کارستی به وجود آمده، نوسان و پیچیدگی‌های بیشتری را نشان می‌دهد که تغذیه به صورت کانالیزه رخ می‌دهد و از طرف دیگر چشمه‌ها نیز دلالت بر توسعه ضریب آلفا و حجم ذخیره دینامیکی چشمه‌های اطراف پرآو بیستون، در مقایسه با دیگر چشمه‌ها نیز دلالت بر توسعه کارست در منطقه دارد و تغذیه مجرایی و کانالیزه‌ی چشمه‌ها را نشان می‌دهد. شجاع و محمدی (۱۳۸۹) به بررسی اثر میزان و مقدار بارندگی در چشمه کارستی پیرغار بر روی شکل هیدروگراف و مشخصات هیدرولوژیکی آن پرداختند نتایج نشان داد که مقدار بارش بر شکل هیدروگراف، دبی پایه، دبی پیشینه و ضرایب فرود تاثیر می‌گذارد بطوری که با تغییر مقدار بارش ممکن است بخش‌های جدیدی از سیستم کارست در سفره فعال شود. شکری (۱۳۹۰) به مطالعه و بررسی توسعه کارست در حوضه آبگیر چشمه‌ی دامغان با تلفیق مطالعات هیدرولوژیکی RS و GIS پرداخت و نتایج نشان میدهد که بیشترین درصد مساحت تشکیل دهنده حوضه آبگیر چشمه‌دارای توسعه متوسط کارست بوده و تجزیه و تحلیل هیدروگراف و منحنی فرود چشمه و برآورد حجم جریان پایه و سریع، نشان دهنده حاکم بودن جریان افشار کاذب موجود در منطقه می‌باشد. تغییرات هیدروگراف و پاسخ چشمه به بارندگی‌ها حاکی از وجود حداقل یک یا چند مجرای بزرگ و بررسی هیدروگراف و کموگراف، نیز مؤید توسعه متوسط تا زیاد محاری زهکشی درونی آبخوان می‌باشد. طاحونی (۱۳۷۶) به بررسی و شناخت اشکال کارست در منطقه دشت ارزن و کازرون به منظور تخمین حجم آبهای زیرزمینی پرداخت و در این پایان نامه جنبه‌های مختلف جغرافیایی طبیعی، زمین‌شناسی، ژئوهرولوژی مورد بررسی قرار گرفته و در فصل پنجم کارست منطقه با در نظر گرفتن عوامل ژئومورفولوژیکی و زمین‌شناسی طبقه‌بندی گردید. حسینی و عیوضی (۱۳۹۳) به منظور مدل‌سازی دبی روزانه چشمه‌ی دامغان در طول دوره فروکش دو روش مانجين و کتاین<sup>۲</sup> مورد استفاده قرار گرفت نتایج این تحقیق نشان داد که به منظور پیش‌بینی جریان روزانه چشمه کارستی طی دوره فروکش، روش کتاین نسبت به روش مانجين از این نظر که لازم به تفکیک جریانهای سریع و پایه چشمه طی دوره فروکش نمی‌باشد و همچنین به دلیل سادگی ساختار مدل و اینکه تنها به یک پاراکتر وابسته است و در نتیجه به محاسبات کمتری نیازمند است، دارای ارجحیت می‌باشد. کشاورزی (۱۳۹۱) به منظور شناسایی و تعیین اشکال کارست، طبقه‌بندی آنها و تعیین سطح کارست شدگی به مطالعه ژئومورفولوژی کارست در حوضه آبخیز چشمه ساسان پرداخت از جمله اشکال کارستی حوضه می‌توان به انواع لاپیه‌ها، دولین، غارها و غیره اشاره کرد. مقدار فرسایش

<sup>1</sup>- Samani

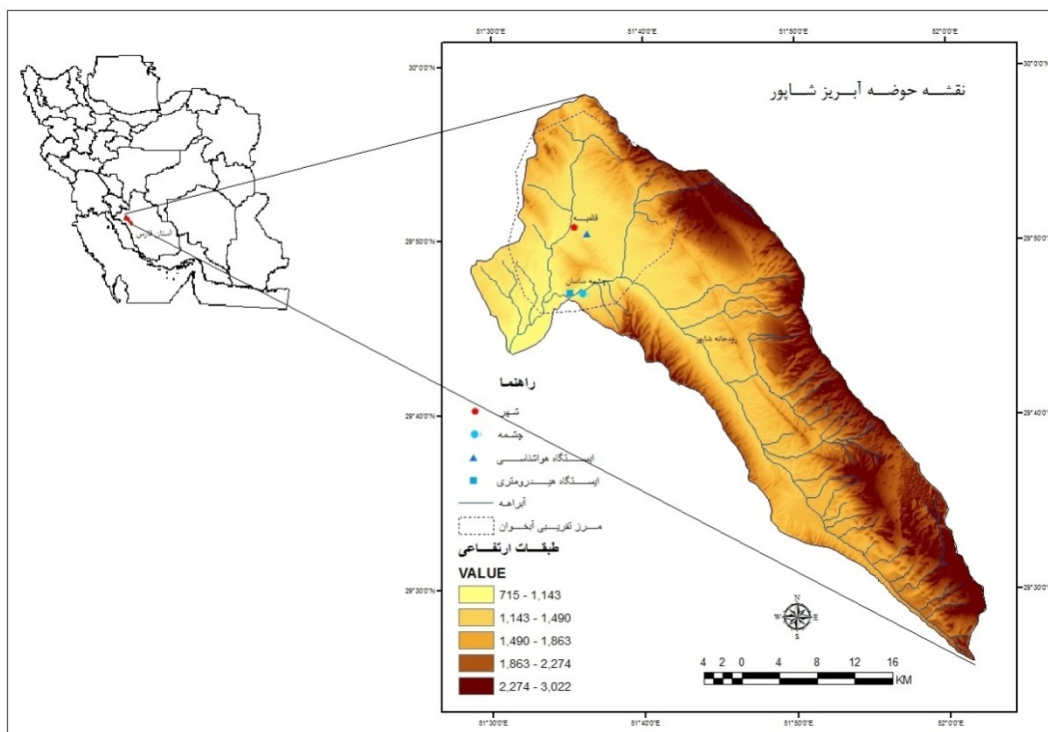
<sup>2</sup>- Mangin and Coutagne

کارستی در سطح حوضه براساس قانون دالتون مقدار  $1/85$  میلیمتر در سال محاسبه گردید و ارتباط زهکشی با تحول کارست بررسی گردید که سازند های آهکی-دولومیته تراکم کمتر از یک درصد نشان می دهد. ویژگی های ایزوتوبی-شیمیایی، حجم ذخیره دینامیکی، ضربه آلفا و شاخص مینزr مورد ارزیابی قرار گرفت و همگی موید ت نوع درجه کارست شدگی و تکامل ژئومورفیک منطقه است.

با توجه به اینکه تحقیقاتی بر روی حوضه کارستی چشممه ساسان تاکنون در زمینه مدلسازی و تحلیل منحنی فروکش و پارامترهای موثر بر آبدیهی چشممه و همچنین طبقه بندی آبخوان از لحاظ توسعه یافتنگی کارست انجام نشده است این تحقیق در نظر دارد برای اولین بار به طبقه بندی آبخوان کارستی و شبیه سازی منحنی فروکش آبدیهی چشممه کارستی ساسان طی یک دوره آماری یازده ساله با استفاده از روش کمی-تحلیلی پردازد.

#### منطقه مورد مطالعه

چشممه ساسان در جنوب غرب استان فارس در فاصله  $20$  کیلومتری شهرستان کازرون و در قسمت غربی تنگ چوگان که خود در قسمت شمال غربی تاقدیس دشتک واقع است و در سمت راست رودخانه شاپور با ارتفاع  $813.5$  متر و در قاعده سازند آسماری-جهرم ظاهر شده است. از نظر کیفی آب چشممه با میانگین سولفات  $30$  میلی گرم در لیتر و غالباً نوع بی کربنات کلسیم-منیزیم یا بی کربنات کلسیم-سدیم در حد بسیار خوب و قابل قبولی است هدایت الکتریکی آن از  $520$  میکرومöhوس و میزان کلر  $126$  میلی گرم در لیتر می باشد. مقداری از آب این چشممه به شهرستان های جنوی و بوشهر منتقل شده و قسمتی از آب شرب این شهر و شهرستان های مجاور را تامین می کند(توکلی و همکاران،  $۱۳۷۰$ ). حداقل ارتفاع منطقه برابر  $3022$  متر مربوط به کوه فامور و کمترین ارتفاع در تنگ چوگان،  $715$  متر است.

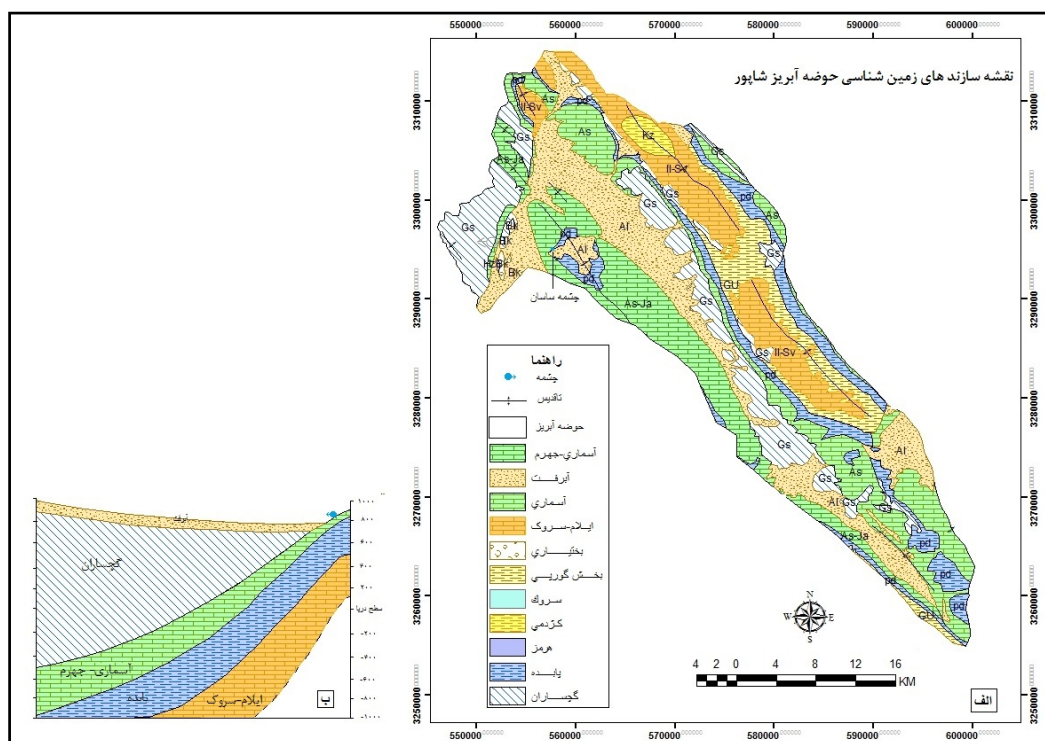


شکل ۱: موقعیت منطقه مورد مطالعه (منبع: نگارنده)

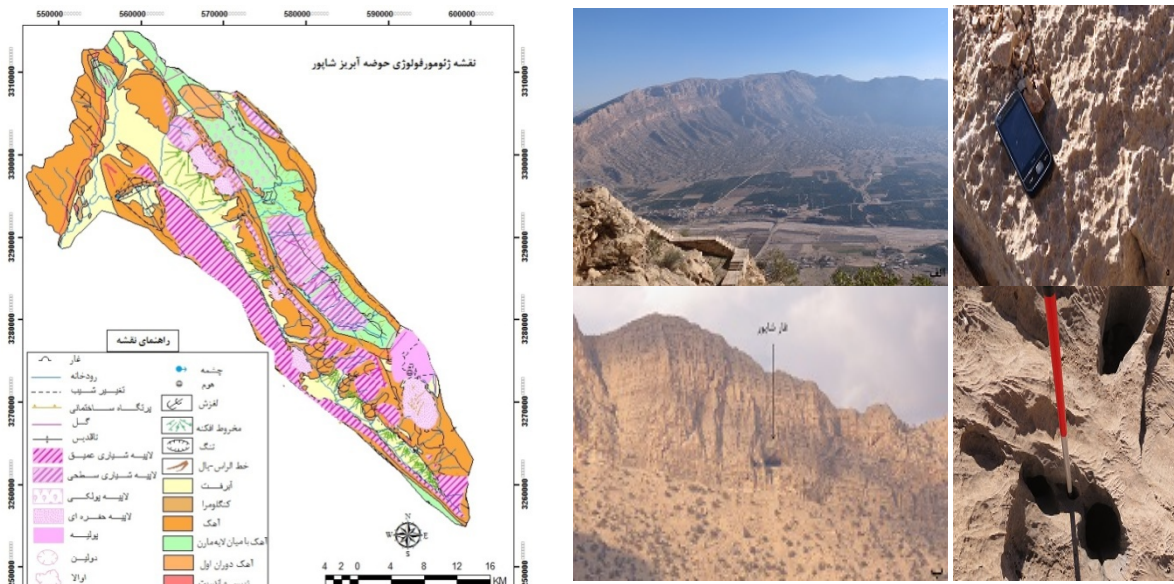
از نظر زمین شناسی، چشممه ساسان در تاقدیس دشتک قرار دارد. طول تاقدیس دشتک  $70$  و پهنهای آن  $8$  کیلومتر با محور شمال غربی-جنوب شرقی است. سازند های رخنمون شده در این تاقدیس به ترتیب از قدیم به جدید عبارتند از: ایلام-سریک با سن کرتاسه بالایی، گورپی با سن کرتاسه بالایی، پابده با سن ائوسن-پالئوسن، آسماری-جهرم با سن

الیگوسن-میوسن و گچساران با سن میوسن که به مقدار کمی در اطراف این تاقدیس یافت می‌شود. قسمت اعظم وسعت این تاقدیس را سازند آسماری-جهرم با مساحت ۲۲۱ کیلومترمربع تشکیل می‌دهد که آبخوان اصلی آن محسوب می‌شود. امتداد کلی شکستگیها تقریباً با محور تاقدیس هم جهت بوده و از نوع درزه‌های کشنشی می‌باشد. از نظر تکتونیک، منطقه مورد مطالعه در واحد ساختمانی و چین خودگی زاگرس قرار دارد که در آن رسوبات پالئوزوئیک، مژوزئیک و ترشیر بطور هم شیب روی هم قرار دارند. این رسوبات پوشش‌های حاشیه قاره‌ای مشرق پلاتفرم عربستان را تشکیل می‌داده اند که در پلیوسن تغییر یافته و چین خورده اند و این چین خودگی و فشار‌های وارد بر این نواحی باعث ایجاد گسلها و درزه‌های متنوع در منطقه شده است. گسل قطر-کازرون مهمترین گسل در حوضه خلیج فارس می‌باشد که با امتداد تقریباً شمالی-جنوبی و در بخش غربی شهر کازرون گسترش یافته است(شرکت سهامی سازمان آب منطقه فارس، ۱۳۶۷: ۲۷).

از نظر ژئومورفولوژی، در حد فاصل تاقدیس دشتک و شاهنشین دشت برم قرار دارد. نهشته‌های دشت برم، مخروط افکنه‌ها و زمین لغزش‌ها با اختلاف ارتفاع محدود و عرض کم در امتداد حاشیه رودخانه اصلی در حوضه گسترش یافته است. عارضه تنگ چوگان توسط قدرت فرسایشی آب بر ساختمان طاقدیس دشتک تحمل شده است. به دلیل اینکه منطقه عمده‌ای توده ای و ضخیم لایه تشکیل شده است تحت تاثیر فرایندهای تکتونیکی، عمل آب و فرسایش انحلالی اشکال کارستیک شکل گرفته اند که نقش مهمی در جذب نزولات جوی و نفوذ آب دارند. پولیه (دشت آهکی) دشت ارزن، نمونه‌ای از این عوارض می‌باشد. غار شاپور در تنگ چوگان نیز طی فرایند انحلال و سیستم درزو شکاف در سنگ‌های آهکی ایجاد شده است. در اثر بارش مستقیم باران بر روی سطح سنگ‌های انحلال پذیر و همچنین در اثر روانابهای ورقه‌ای و کanalی ناشی از بارش، لایه‌ها شکل گرفته اند که بیشترین درصد را لایه شیاری عمیق و متراکم بر روی تاقدیس دشتک در سازند آسماری-جهرم به خود اختصاص داده است. اووالا و دولین، دارای حجم و عمق کم می‌باشند.



شکل ۲: (الف) نقشه زمین‌شناسی محدوده مورد مطالعه (منبع: نگارنده)، (ب) مقطع زمین‌شناسی چشم‌های ساسان (فخاری به نقل از طاحونی)



شکل ۳: (الف) تنگ چوگان (ب) غار شابور (د) لایه (حفره ای) (۵) لایه (آشیانه ای) (۶) نقشه ژئومورفوژئی (منبع: نگارنده)

### مواد و روش‌ها

در این پژوهش با توجه به اینکه منبع اصلی تغذیه کننده آبخوان، بارش است، دبی چشممه‌ها بعنوان متغیر وابسته در نظر گرفته می‌شود و سپس به بررسی تاثیرات بارش بر آبنگارهای چشممه‌ها پرداخته شده است. برای این کار از آمار ایستگاه‌های باران سنجی قائمیه و ایستگاه هیدرومتری چشممه ساسان طی دوره ۱۱ ساله (۱۳۷۷-۸۷) استفاده شده است.

### مدلسازی آبدهی چشممه کارستی

مانجین دبی فروکش چشممه کارستی در هر زمان  $t$ ,  $Q_t$  را به صورت مجموع جریان پایه،  $q_t^b$  مطابق با روش مایلیت، و جریان سریع،  $q_t^*$  متأثر از تغذیه و نفوذ سطح خاک در آن زمان معرفی نمود:

$$Q_t = q_t^b + q_t^* \quad (1)$$

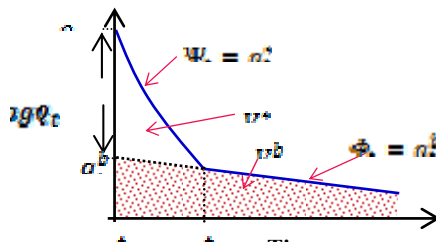
$$e^{-\alpha t} = q_0^b q_t^b \quad (2)$$

$$\text{رابطه ۳}$$

که در آن  $q_0^b$ ، جریان پایه برون یابی شده در ابتدای منحنی فروکش مطابق با شکل (۴) می‌باشد. پارامتر  $\alpha$ ، نیز ضریب فروکش جریان پایه طبق روش مایلیت است.  $q_0^*$  اختلاف بین دبی کل چشممه  $Q_0$ ، مقدار متناظر جریان پایه،  $q_0^b$ ، در زمان شروع فروکش،  $t = 0$  مطابق شکل (۴) می‌باشد. پارامتر  $\eta$ ، معکوس زمان شروع دبی پایه  $(\frac{1}{t_i})$ ، و یا طول عکس مدت زمان جریان سریع معرفی شده است ضریب  $\epsilon$  که از نظر ریاضی درجه تقریب منحنی جریان سریع را نیز نشان می‌دهد، بیانگر ضریب متوسط منطقه غیر اشباع در نفوذ ضریب آب از سطح خاک به تشکیلات کارستی می‌باشد و دارای بعد عکس زمان  $(\frac{1}{t})$ ، می‌باشد. مقدار  $y_t = \frac{1-\eta t}{1+\epsilon t}$ ، که با تابع  $y$ ، نیز نشان داده می‌شود، دارای مقدار بین صفر و یک می‌باشد.

$$Y_t = \frac{1-\eta t}{1+\varepsilon t} = \begin{cases} 1 & t = 0 \\ K & 0 < t < t_i \\ 0 & t = t_i \end{cases} \quad \text{رابطه ۴}$$

که در آن  $1 < K < 0$  است. این تابع، بی بعد بوده و مستقل از جریان چشمeh است و می‌توان برای مقایسه تغییرات جریان سریع چشمeh در طول سالهای مختلف به کار برد.



شکل ۴: نمودار تغییرات جریان سریع و پایه در منحنی فروکش آبدی چشمeh کارستی (منبع: Padilla et al., 1994, 270)

با گرفتن انتگرال از توابع دبی جریانهای سریع و پایه نسبت به زمان، می‌توان توابع حجم آب ذخیره شده در قسمت غیر اشباع خاک،  $v_t^*$ ، و همچنین تشکیلات کارستی،  $v_t^b$ ، را در هر زمان محاسبه نمود:

$$v_t^* = \int_{t=0}^t q_t^* dt = \int_{t=0}^t q_0^* \frac{1-\eta t}{1+\varepsilon t} dt = \frac{q_0^*}{\varepsilon} (\ln(1+\varepsilon t)(1+\eta t)) \quad 0 < t < t_i \quad \text{رابطه ۵}$$

$$v_t^b = \int_{t=0}^t q_t^b dt = \int_{t=0}^t q_0^b e^{-\alpha t} dt = \frac{q_0^b}{\alpha} (1 - e^{-\alpha t}) \quad t > 0 \quad \text{رابطه ۶}$$

تابع حجم کل جریان چشمeh در هر زمان،  $V_t^T$ ، برابر مجموع دو تابع فوق می‌باشد:

$$V_t^T = V_t^* + V_t^b \quad \text{رابطه ۷}$$

برای محاسبه حجم اولیه آب ذخیره شده در ابتدای شاخه جریان سریع،  $V_0^*$ ، و همچنین حجم آب ذخیره شده در تشکیلات کارستی که در طول جریان پایه تخلیه می‌شوند،  $V_0^b$ ، می‌توان در بالای انتگرال در روابط (۵) و (۶) را به ترتیب مقادیر  $t_i$ ، و بی نهایت قرار داد:

$$V_0^* = \int_{t=0}^{t_i} q_t^* dt = \int_{t=0}^{t_i} q_0^* \frac{1-\eta t}{1+\varepsilon t} dt = \left[ \frac{q_0^*}{\varepsilon} (\ln(1+\varepsilon t) \left(1 + \frac{\eta}{\varepsilon}\right) - 1) \right] \quad \text{رابطه ۸}$$

$$V_0^b = \int_{t=0}^{t=+\infty} q_t^b dt = \int_{t=0}^{t=+\infty} q_0^b e^{-\alpha t} dt = \frac{q_0^b}{\alpha} \quad \text{رابطه ۹}$$

می‌توان نتیجه گرفت که حجم اولیه آب ذخیره شده که در طول فروکش جریان توسط چشمeh تخلیه می‌شود،  $V_0^T$ ، برابر  $V_0^* + V_0^b$  است.

### طبقه بندی آبخوانهای کارستی

مانجین در سال ۱۹۷۵ یک روش کمی برای طبقه بندی آبخوانهای کارستی، بر اساس دو پارامتر  $K$ ، که نشان دهنده درجه توسعه یافته‌گی منطقه نشتی کارست می‌باشد و  $I$  که شرایط نفوذ آب از سطح به آبخوان را نمایش می‌دهد را تعریف نمود. حد تابع رابطه ۶ در بینهایت مقدار حجم ذخیره دینامیکی در منطقه نشتی (تشکیلات کارست  $v_{dyn}$ )، را بدست می‌دهد:

$$v_{dyn} = \lim_{t \rightarrow +\infty} v_t^b = \frac{q_0^b}{\alpha} (1 - e^{-\alpha t}) = \lim_{t \rightarrow +\infty} C \frac{q_0^b}{\alpha} \quad \text{رابطه ۱۰}$$

که در آن  $v_{dyn}$ ، حجم ذخیره در ابتدای جریان پایه بر حسب متر مکعب، ضریب  $C$ ، ضریب تبدیل و برابر  $86400$ ،  $q_0^b$ ، دبی در ابتدای منحنی جریان پایه بر حسب متر مکعب بر ثانیه، و یا جریان چشمeh در  $t_0 = t$ ، و  $\alpha$ ، ضریب جریان پایه بر حسب  $\text{day}^{-1}$  (day) می‌باشد. هر چه ذخیره نشتی ( $v_{dyn}$ )، بیشتر باشد، منطقه نشتی آبخوان کارستی نقش بیشتری در تنظیم دبی خروجی از چشمeh را خواهد داشت.

از طرفی دیگر حجم جریان انتقالی آبخوان کارستی ( $V_{trans}$ ) را می‌توان با انتگرال گیری از دبی جریان خروجی چشممه (رابطه ۱) نسبت به زمان برای مدت یک سال محاسبه نمود. به عبارتی دیگر  $V_{trans}$ ، برابر حجم خروجی از چشممه در هر سال می‌باشد به سادگی از رابطه زیر نیز قابل محاسبه است:

$$V_{trans} = Q \times t_{rec} \times 86400 \quad (11)$$

که در آن  $Q$ ، متوسط دبی خروجی از چشممه طی دوره فروکش و  $t_{rec}$ ، مدت زمان دوره فروکش بر حسب روز است. برای محاسبه پارامتر  $K$  آبخوان، مقادیر  $V_{trans}$  و  $v_{dyn}$ ، برای منحنی فروکش هر سال محاسبه شده و از تقسیم این دو مقدار، پارامتر  $K$  برای سال مورد نظر بدست می‌آید:

$$K = \frac{v_{dyn}}{V_{trans}} \quad (12)$$

پارامتر  $K$  همچنین به عنوان معیاری برای نشان دادن زمان نگهداشت آب در منطقه نشتی (تشکیلات کارستی) است. در بیشتر آبخوانهای کارستی  $K < 0.5$  می‌باشد. هر چه مقدار  $K$  بیشتر باشد (به ۰.۵ نزدیک تر باشد)، قدرت تنظیمی منطقه نشتی آبخوان کارست در مقایسه با ناحیه غیر اشباع در جریان خروجی چشممه قوی تر است.

پارامتر  $i$  آبخوان، طبق تعریف مانجین، همان مقدار تابع بدون بعد ( $\gamma_t$ ) در رابطه (۴) به ازای  $t = 2 day$  می‌باشد به عبارتی دیگر  $i = Y_{t=2}$ . حدود تغییرات پارامتر  $i$   $< i < 0$  می‌باشد. هر چه پارامتر  $i$  به صفر نزدیک شود، نفوذ آب از سطح زمین سریعتر، و هر چه به عدد یک نزدیک شود، سرعت تعذیه آب به درون آبخوان آهسته‌تر می‌باشد. بر اساس مقادیر مختلف پارامترهای  $K$  و  $i$ ، پنج ناحیه متمایز بوجود می‌آید:

ناحیه ۱:  $0.5 < K < 0.5$ : سیستم آبخوان کارستی پیچیده بوده و دارای توسعه یافته‌گی بالا و مخازن مختلفی است.

ناحیه ۲:  $0.5 < K < 0.25$ : در آبخوان کارستی سیستم مجرایی در بخش بالایی (منطقه نفوذ)، نسبت به بخش‌های نزدیک به خروجی چشممه، توسعه یافته‌تر است.

ناحیه ۳:  $0.1 < K < 0.25$ : آبخوان دارای سیستم توسعه یافته کارست هم در بخش بالایی (نفوذی) است و هم در بخش نشتی (نزدیک به خروجی). به عبارت دیگر در تمام بخش آبخوان کارست، سیستم مجرایی وجود دارد.

ناحیه ۴:  $0.1 < K < 0.5$  و  $0.1 < i < 0.25$ : سیستم آبخوان دارای منطقه نفوذی با درجه کارستی بالا و یک شبکه مجرایی گسترده است، که به ناحیه نشتی منتهی می‌شود.

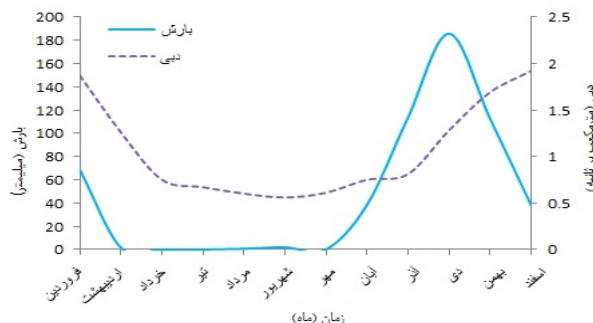
ناحیه ۵:  $0.5 < K$ : سیستم آبخوان کارستی منطقه نشتی دارای عمق زیاد و درز و شکاف فراوان به صورت جزء یا تماماً در زیر رسوبات با نفوذپذیری کم محصور شده است و توسعه کارست آن عمدها مربوط به دوران کارستی زایی قبلی می‌باشد و ممکن است شبکه های مجرایی پالئو در منطقه اشباع آبخوان فعالیت داشته باشد به این نوع آبخوان ها، سیستم های غیرفعال از نظر کارستی شدن نیز می‌گویند و دارای یک ساختار زهکشی پیچیده با زمان تاخیر بسیار طولانی است.

## بحث و نتایج

بررسی آبنگارها و بارش نگارها نشان می‌دهد که حداکثر دبی با مقدار  $1/92$  مترمکعب بر ثانیه در اسفند ماه رخ می‌دهد در حالی که بیشترین بارش با مقدار  $185/71$  میلیمتر مربوط به دی ماه می‌باشد. روند تغییرات بارش و دبی ماهانه در حوضه آبگیر چشممه مشابه هستند در حالی که تاخیر زمانی دو ماهه بین این دو متغیر وجود دارد (شکل ۵).

جدول ۱: مشخصات آماری آبدهی چشممه ساسان (از سال ۱۳۷۷ تا ۱۳۸۷)

آبدهی میانگین ( $m^3/s$ )	آبدهی کمینه ( $m^3/s$ )	آبدهی بیشینه ( $m^3/s$ )	آبدهی استاندارد میانگین ( $m^3/s$ )	خطای استاندارد میانگین	چولگی	واریانس ( $m^3/s$ )	ضریب تغییرات	آماره
۱/۲۹	۰/۳۳	۷/۸۶	۰/۱۰	۱۰/۵۳	۱/۲۹	۰/۸۵		مقدار



شکل ۵: نمودار تغییرات دبی و بارش ماهانه حوضه مورد مطالعه (از سال ۱۳۷۷ تا ۱۳۸۷)

به منظور طبقه بندي آبخوان کارستي چشمه ساسان به روش مانجين، به کمک روابط (۱۰) تا (۱۲) مقادير ضريب فروکش جريان ( $\alpha$ )، حجم ذخیره ديناميکي ( $v_{dyn}$ )، حجم ذخیره آب در بخش نشتی آبخوان ( $v_{trans}$ )، پaramتر  $\eta$ ، ضريب تقرع منحنی جريان سريع ( $\epsilon$ )، دبی اوليه جريان پایه ( $q_0^b$ ) برای دوره هاي فروکش سال هاي مختلف محاسبه و نتایج آن در جدول (۲) ارائه شده است. مقادير ضريب  $\alpha$  محاسبه شده برای چشمه ساسان بین  $0.0003$  تا  $0.0022$  قرار دارد که نشان دهنده شب ماليم منحنی فروکش، غالب بودن سیستم افshan عبور آب در آبخوان و اینکه چشمه دارای ذخیره ديناميکي زياد و کمتر تحت تاثير بارش قرار مي گيرد. در اينگونه آبخوان هاي کارستي، شبکه کارستي بخوبی توسعه نياfته است و بنابراين آب هاي زيرزماني نياز به زمان بيشتری برای جابجايی در آبخوان دارند. اين سامانه ها توسيط محققين مختلف به عنوانين مختلفي همچون سامانه هاي جريان کند، توسيط اكينسون<sup>۱</sup>؛ جريان افshan توسيط بوناچي<sup>۲</sup> (۱۹۹۳) و جريان متفرق توسيط سويت<sup>۳</sup> (۲۰۰۵) نامگذاري شده اند. در آبنگار چشمه هاي با سامانه هاي افshan اوج دبی خروجي چشمه پس از يك تاخير زمانی معين نسبت به دوره بارش رخ مي دهد (Fiorillo, ۲۰۰۹، ۲۹۰).

حدود تغییرات حجم آب ذخیره شده ديناميکي و انتقالی برای دوره هاي مختلف فروکش جريان طبق روابطه (۱۰) و (۱۱) در محدوده  $212/05 < v_{dyn} < 25/12$  و  $62/24 < v_{trans} < 15/98$  ميليون متر مكعب بدست آمده است که بطور متوسط کمتر از ۲۶ درصد از حجم آب ذخیره در کل سیستم کارست آبخوان بصورت انتقالی از مظاهر چشمه خارج مي شود و مابقی در تشکيلات کارستي باقی مي مانند. بيشترین حجم انتقالی آب در آبخوان مربوط به دوره فروکش  $11/29$  تا  $81/26$  برابر با  $44/78$  ميليون متر مكعب مي باشد که نسبت به دوره فروکش سال هاي مورد بررسی بيشترین طول دوره (۶۰ روز) را دارد.

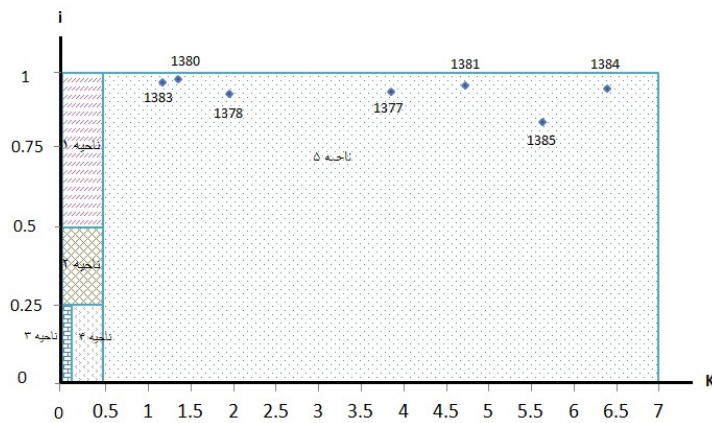
حدود تغییرات پaramترهاي  $k$  و  $i$  برای دوره هاي فروکش جريان چشمه در سالهای مختلف طبق روابط (۴) و (۱۲) در محدوده  $6.4 < k < 1/163$  و  $0/98 < i < 0/84$  بدست آمد. در بيشتر سالهای مورد مطالعه، پaramتر  $k$  بدست آمده دارای مقادير بالاي (۰/۰۵) است که نشان دهنده قدرت كنترلي بيشتر بخش نشتی (اشباع) نسبت به بخش غير اشباع آبخوان در جريان خروجي چشمه مي باشد. همچنان مقادير بدست آمده برای پaramتر  $i$  که همگي بيشتر از  $۰/۵$  مي باشند، بيانگر غير قابل نفوذ بودن آب از سطح زمين به درون آبخوان است.

<sup>۱</sup>- Atkinson<sup>۲</sup>- Civita<sup>۳</sup>- Fiorillo

جدول ۲: نمایش مقادیر پارامترهای بدست آمده در طول دوره آماری

$i$ (-)	$K$ (-)	$t_i$ (day)	$D$ (day) $^{-1}$	$\varepsilon$ (day)	$V_{trans}$ ( $\times 10^6 m^3$ )	$V_{dyn}$ ( $\times 10^6 m^3$ )	$q_b^b$ ( $m^3/s$ )	$\alpha$ (day) $^{-1}$	دوره فروکش
۰/۹۴	۳/۸۶	۱۲۵	۰/۰۱۵	۰/۰۱۱	۳۱/۸۱	۱۲۳/۰۸	۱/۵۶۷	۰/۰۰۱	۷۷/۱۲/۱۷ تا ۷۸/۴/۲۰
۰/۹۳	۱/۹۶	۵۷۹	۰/۰۰۳	۰/۰۲۹	۶۲/۲۴	۱۲۲/۴۵	۰/۵۶	۰/۰۰۰۴	۷۸/۱۱/۱۱ تا ۷۹/۶/۹
۰/۹۸	۱/۳۶	۲۶۵	۰/۰۰۵	۰/۰۰۴	۲۹/۶۲	۴۰/۳۹	۰/۶۵۴	۰/۰۰۱	۸۰/۱۱/۲۹ تا ۸۱/۸/۱۸
۰/۹۶	۴/۷۳	۶۰۸	۰/۰۰۸	۰/۰۰۷	۴۴/۷۸	۲۱۲/۰۵	۰/۷۳۶	۰/۰۰۰۳	۸۱/۱۱/۲۹ تا ۸۳/۷/۲۶
۰/۹۷	۱/۱۶	۱۷۹	۰/۰۰۸	۰/۰۰۲	۲۱/۴۹	۲۵/۱۲	۰/۶۳۹	۰/۰۰۲	۸۳/۱۲/۲۴ تا ۸۴/۶/۱۸
۰/۹۵	۶/۴۰	۱۸۹	۰/۰۰۷	۰/۰۱	۱۶/۵۰	۱۰۵/۶۴	۰/۴۸۹	۰/۰۰۰۴	۸۴/۱۲/۱۳ تا ۸۵/۶/۱۷
۰/۸۴	۵/۶۳	۲۲۰	۰/۰۰۷	۰/۸	۱۵/۹۸	۹۰/۰۲	۰/۵۲۱	۰/۰۰۰۵	۸۵/۱/۲۸ تا ۸۶/۹/۱

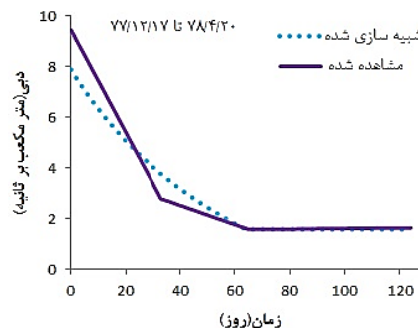
اگر مقادیر بدست آمده برای دو پارامتر  $k$  و  $i$  را بصورت زوج نقاط بر روی نمودار طبقه بندی آبخوان کارستی مانجین مطابق شکل (۶) مشخص نمائیم می‌توان نتیجه گرفت آبخوان کارستی چشمی ساسان در ناحیه پنجم این تقسیم بندی قرار می‌گیرد و نشان دهنده این مسئله است که سیستم آبخوان کارستی منطقه نشتی دارای عمق زیاد و درز و شکاف فراوان به صورت جزء یا تماماً در زیر رسوبات با نفوذپذیری کم محصور شده است و توسعه کارست آن عمدها مربوط به دوران کارستی زایی قبلی می‌باشد و ممکن است شبکه‌های مجرایی پالو در منطقه اشباع آبخوان فعالیت داشته باشد به این نوع آبخوان‌ها، سیستم‌های غیرفعال از نظر کارستی شدن نیز می‌گویند و دارای یک ساختار زهکشی پیچیده با زمان تاخیر بسیار طولانی است. تاخیر زمانی دو ماهه بین حداکثر بارش و دبی ماهانه (شکل ۵) نیز تأیید‌کننده این مطلب است در اطراف و حوضه بالادست چشمی ساسان تکامل اشکال کارست، سیمای کارستی بی نظیری از قبیل غار شاپور، تنگ چوگان، چشمی کارستی با دبی بالا، دولین و انواع لایه‌ها را به وجود آورده است. با توجه به قرار گیری چشمی در آهک آسماری-جهرم و براساس مقادیر بالای  $k$  (۰/۵) و در نهایت با توجه به حجم آب میزان کارستی شدن در قسمت‌های پایین دست به صورت انواع لایه‌ها نمایان می‌شود.



شکل ۶: طبقه بندی سیستم آبخوان‌های کارستی بر اساس روش مانجین

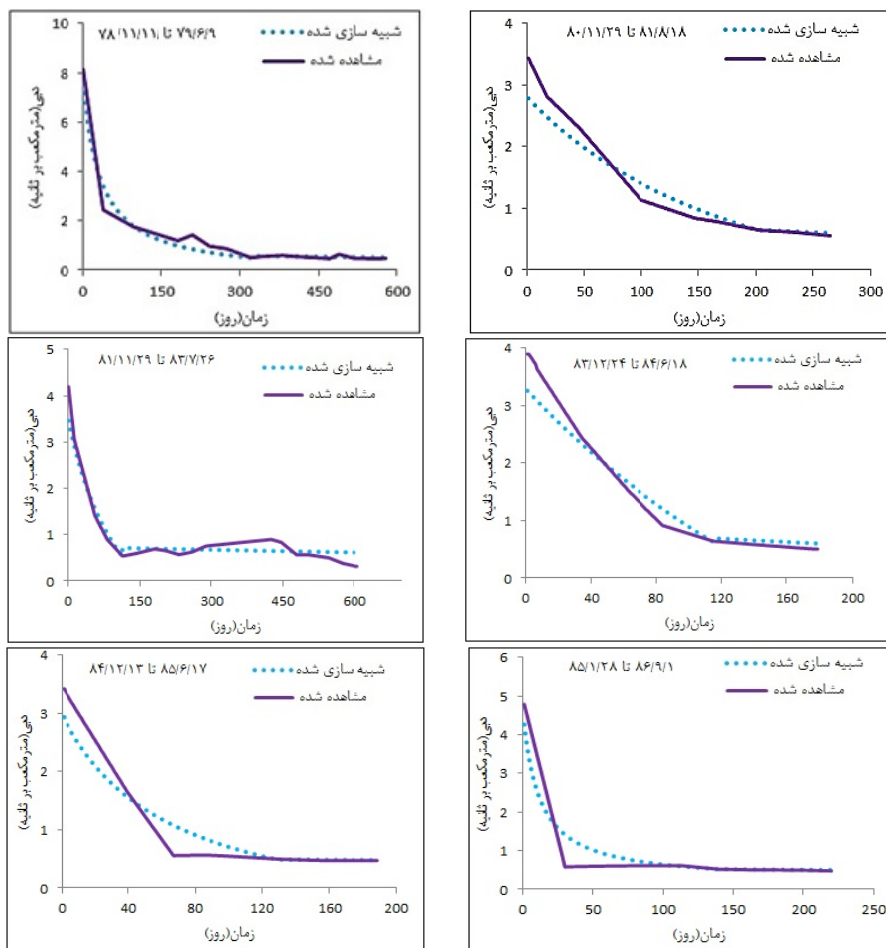
داده‌های منحنی فروکش سال اول (۱۳۷۷)، به منظور واسنجی روش مانجین (تخمین مقدار بهینه پارامترهای  $i$  و  $K$ ) مورد استفاده قرار گرفت و داده‌های سایر منحنی‌های فروکش موجود به منظور ارزیابی پارامترهای تخمین زده شده، به کار

گرفته شد. به کمک تکنیک بهینه سازی خطی توسط ابزار Solver در محیط نرمافزار Excel، مقادیر بهینه پارامترهای  $\alpha$  و  $\beta$  به ترتیب برابر با  $\frac{1}{0.15}$  و  $\frac{1}{day}$  به دست آمد (شکل ۷).



شکل ۷: منحنی واسنجی فروکش جریان چشمی توسط روش مانجین

بر اساس پارامترهای واسنجی شده، منحنی فروکش جریان چشمی برای سالهای ۱۳۸۷ تا ۱۳۷۷ شبیه سازی شدند و نتایج در شکل (۸) نشان داده شد. روش مانجین هماهنگی نسبتاً خوبی در شبیه سازی مقادیر دبی های دوره فروکش طی سالهای مختلف دارد ولی با این حال در قسمت جریان سریع، پایین افتادگیهای مشاهده می شود که سبب ناهماهنگی در منحنی نمودار شده است، و در قسمت جریان پایه منطبق بر دبی پایه بوده و پاسخ مناسبتری دریافت شده است.



شکل ۸: منحنی های شبیه سازی شده فروکش جریان به روش مانجین

مقادیر مشاهداتی و شبیه سازی شده حجم اولیه جریان ذخیره شده ( $V_0^t$ ) در مخزن تشکیلات کارستی چشم موردن مطالعه که در طول منحنی فروکش تخلیه می شود، محاسبه و در جدول (۳) ارائه شده است. لازم به ذکر می باشد که مقادیر ( $V_0^T$ ) از مجموع حجم اولیه جریان سریع ( $V_0^*$ ) و جریان پایه ( $V_0^b$ ) بدست آمده است. نتایج نشان می دهد که بطور متوسط حجم اولیه آب ذخیره شده در آبخوان که توسط روش مانجين شبیه سازی شده برابر با  $31/24$  میلیون متر مکعب می باشد در حالی که در حالی که مقدار حجم متوسط سالانه آب چشم موردن محاسبه داده های مشاهداتی برابر با  $31/92$  میلیون متر مکعب محاسبه شده است. حداقل درصد خطای روش مانجين در برآورد حجم آب ذخیره شده در آبخوان کارستی برابر با  $5/51$  درصد می باشد که نشان دهنده دقیق بالای این روش می باشد.

میزان حجم ذخیره کل ( $V_0^t$ ) که برابر با مجموع حجم جریان سریع و پایه در هر دوره فروکش می باشد در جدول (۳) ارائه شده است. این پارامتر بعنوان عاملی که نتیجه شرایط خاص زمین شناختی و بازخوردی از توسعه کارستی یک منطقه است مطرح می باشد. که با مقدار ضریب آلفا رابطه ای معکوس دارد. هر چه حجم ذخیره دینامیکی چشم می باشد. بالا بودن مقدار حجم ذخیره کل در آبخوان چشم موردن ساسان حاکی از توسعه یافته ای کم کارستی می باشد و در این شرایط چشم موردن طولانی تری به رخداد خشکسالی واکنش نشان می دهد.

در طی هفت دوره فروکش موردن مطالعه، بطور متوسط حدود  $75$  درصد از کل حجم آب ذخیره شده سالانه در آبخوان، مربوط به ذخیره اشباع (جریان پایه) و بقیه معادل  $\%25$  مربوط به بخش غیراشباع (جریان سریع) است (جدول ۳). غالباً بودن جریان پایه نسبت به جریان سریع، حاکی از توسعه یافته ای ناچیز آبخوان کارستی می باشد و افشار بودن سیستم جریان آب در آبخوان می باشد. نکته قابل توجه دیگر اینکه مقادیر حجم اولیه آب ذخیره شده در آبخوان ( $V_0^t$ ) که در جدول (۳) نشان داده شده است، با مقادیر حجم آب انتقالی به مظہر چشم موردن ( $V_{trans}$ ) که در جدول (۲) نشان داده شده است، از نظر مقدار بسیار نزدیک به یکدیگر می باشند.

جدول ۳: حجم اولیه آب ذخیره شده در آبخوان کارستی ( $V_0^T$ )

دوره فروکش	حجم اولیه مشاهداتی ( $\times 10^6 \text{m}^3$ )	$V_0^*$ ( $\times 10^6 \text{m}^3$ )	$V_0^b$ ( $\times 10^6 \text{m}^3$ )	درصد خطای محاسبه حجم (%)
۷۷/۱۲/۱۷ تا ۷۸/۴/۲۰	۳۱/۹۲	۸/۰۸	۲۳/۱۵	۳۱/۲۴
۷۸/۱۱/۱۱ تا ۷۹/۶/۹	۶۲/۰۶	۱۱/۹۵	۴۶/۶۸	۵/۵۱
۸۰/۱۱/۲۹ تا ۸۱/۸/۱۸	۲۹/۶۲	۳/۵۵	۲۵/۷۷	۱/۰۱
۸۱/۱۱/۲۹ تا ۸۳/۷/۲۶	۴۴/۶۵	۲۸/۱۵	۱۶/۴۶	۰/۰۸
۸۳/۱۲/۲۴ تا ۸۴/۶/۱۸	۲۰/۷۶	۳/۶۱	۱۷/۹۳	۳/۵۶
۸۴/۱۲/۱۳ تا ۸۵/۶/۱۷	۱۶/۵۱	۲/۵۷	۱۴/۰۲	۱/۶۳
۸۵/۱۲/۸ تا ۸۶/۹/۱	۱۵/۹۸	۳/۷۲	۱۳/۱۳	۵/۵۰

### نتیجه گیری

در این تحقیق به منظور طبقه بندی آبخوان کارستی و شبیه سازی منحنی فروکش آبدهی چشم موردن کارستی از روش مانجين استفاده شد، مقادیر ضریب  $\alpha$  محاسبه شده برای چشم موردن نشان دهنده ملایم بودن شبیه منحنی فروکش، غالب بودن سیستم افشار عبور آب در آبخوان و اینکه چشم موردن دارای ذخیره دینامیکی زیاد و کمتر تحت تاثیر بارش قرار

می‌گیرد است. بیشترین حجم ذخیره دینامیکی و انتقالی آب در آبخوان مربوط به دوره فروکش ۸۱/۱۱/۲۹ تا ۸۳/۷/۲۶ می باشد در اینگونه آبخوان‌های کارستی، شبکه کارستی بخوبی توسعه نیافته است و بنابراین آب‌های زیرزمینی نیاز به زمان بیشتری برای جابجایی در آبخوان دارند. بالا بودن مقادیر پارامتر  $k$  و  $i$  (مقادیر بیش از ۰/۵) در بیشتر سالهای مورد مطالعه، نشان دهنده قدرت کنترلی بیشتر بخش نشتی (اشباع) نسبت به بخش غیر اشباع آبخوان در جریان خروجی چشمی و همچنین بیانگر غیر قابل نفوذ بودن آب از سطح زمین به درون آبخوان است. آبخوان کارستی چشمی ساسان در ناحیه پنجم این تقسیم بندی قرار می‌گیرد که نشان دهنده این مسئله است که سیستم آبخوان کارستی منطقه نشتی، دارای عمق زیاد و درز و شکاف فراوان بصورت جزء یا تمام‌ا در زیر رسوبات با نفوذپذیری کم محصور شده است. پوشیده شدن ۲۱/۶۰۳ درصد آبخوان کارستی از رسوبات موید آن است و توسعه کارست آن عمدتاً مربوط به دوران کارستی زایی قبلی می‌باشد و ممکن است شبکه‌های مجرایی پائیو در منطقه اشباع آبخوان فعالیت داشته باشد به این نوع آبخوان‌ها، سیستم‌های غیرفعال از نظر کارستی شدن نیز می‌گویند و تحول کارستی غار شاپور در طی دوران گذشته تایید کننده این مطلب است و دارای یک ساختار زهکشی پیچیده با زمان تاخیر بسیار طولانی است که اختلاف زمانی وقوع پیک دبی چشمی و بارش حداقل (شکل ۵) این ساختار پیچیده را نشان می‌دهد. به منظور مدلسازی جریان فروکش چشمی ساسان داده‌های آماری طی ۱۱ سال در مقیاس روزانه مورد استفاده قرار گرفت. مشاهده می‌شود که روش مانجينی هماهنگی نسبتاً خوبی در شبیه سازی مقادیر دبی‌های دوره فروکش طی سالهای مختلف دارد. ولی با این حال در قسمت جریان سریع، پایین افتادگیهایی مشاهده می‌شود که سبب ناهمانگی در منحنی نمودار شده است، و در قسمت جریان پایه منطبق بر دبی پایه بوده و پاسخ مناسبتری دریافت شده است. بطور متوسط حجم اولیه آب ذخیره شده در آبخوان که شبیه سازی شده برابر با ۳۱/۲۴ میلیون متر مکعب می‌باشد حداقل درصد خطای روش مانجينی در برآورد حجم آب ذخیره شده در آبخوان کارستی برابر با ۵/۵۱ درصد می‌باشد که نشان دهنده دقیق‌ترین روش می‌باشد. در طی هفت دوره فروکش مورد مطالعه، بطور متوسط حدود ۷۵ درصد از کل حجم آب ذخیره شده سالانه در آبخوان، مربوط به ذخیره اشباع و بقیه مربوط به بخش غیراشباع است بنابراین غالب بودن جریان پایه چشمی ساسان نسبت به جریان سریع، حاکی از توسعه یافتنی ناچیز آبخوان کارستی می‌باشد و افشار بودن سیستم جریان آب در آبخوان می‌باشد. با توجه به اینکه عمدتاً منطقه از آهک تشکیل شده است اشکال کارستیک در منطقه توسعه یافته اند که نقش مهمی در جذب نزولات جوی و نفوذ آب دارند و در نهایت با توجه به قرار گیری چشمی ساسان در سازند آسماری-جهرم و حجم آب، کارست زایی در قسمت‌های پایین دست، به صورت انواع لایه‌ها نمایان می‌شود.

## منابع

- افراسیابیان، احمد، ۱۳۷۷، اهمیت مطالعه و تحقیقات منابع آب کارست در ایران، مجموعه مقالات دومین همایش جهانی آب در سازندهای کارستی، کرمانشاه.
- توكلی، محمدمحسن صادقپور، محمدحسن نجاتی، ۱۳۷۰، گزارش بازدید از مناطق جنوب (کازرون، بوشهر، برازجان و سواحل خلیج فارس) و بررسی پدیده‌های کارستیک در مجاورت گسل کازرون و کرانه خلیج فارس، سازمان آب منطقه‌ای فارس.
- حسینی، موسی و اکرم عیوضی، ۱۳۹۳، مدل سازی آبدی روزانه چشمی کارستی طی دوره فروکش جریان با استفاده از روش‌های تحلیلی (مطالعه موردنی: چشمی علی دامغان)، پژوهش‌های ژئومورفولوژی کمی، سال دوم، شماره ۴، صص ۵۴-۷۰.
- شجاع، عاطفه و ضرغام محمدی، ۱۳۸۹، بررسی اثر تغییرات بارندگی بر مشخصات هیدرولوگراف چشمی کارستی پیر غار، بیست و نهمین گردهمایی علوم زمین، ۹ صفحه.

- شرکت سهامی سازمان آب منطقه ای فارس، ۱۳۶۷، گزارش بررسی های منابع آب کازرون، طرح آبرسانی بوشهر، جلد اول.
- شکری، محمد، ۱۳۹۰، بررسی توسعه کارست در حوضه آبگیر چشمۀ علی دامغان با تلفیق مطالعات هیدروژئومورفولوژیکی (GIS و RS)، استاد راهنمای غلامحسین کرمی، دانشگاه صنعتی شاهرود.
- طاحونی، پوران، ۱۳۷۴، بررسی و شناخت اشکال کارست در منطقه دشت ارزن و کازرون به منظور تخمین حجم آبهای زیرزمینی، استاد راهنمای فرج الله محمودی، دانشگاه تهران.
- قبادی، محمدحسین، ۱۳۸۶، زمین شناسی مهندسی، چاپ اول، انتشارات دانشگاه بوعالی سینا همدان.
- کریمی وردنجانی، حسین، ۱۳۸۹، هیدروژئومورفولوژی کارست، چاپ اول، انتشارات ارم شیراز.
- کشاورزی، مجید، ۱۳۹۱، مطالعه ژئومورفولوژی کارست در حوضه آبخیز چشمۀ ساسان، استاد راهنمای محمدعلی زنگنه اسدی، دانشگاه حکیم سبزواری.
- مقصودی، مهران و حاجی کریمی، فرشاد صفری، ذیبح الله چهارراهی، ۱۳۸۸، بررسی توسعه کارست در توده پرآو بیستون با استفاده از ضرایب فرود، زمان مرگ چشمۀ ها و تحلیل نتایج ایزوتوبی و شیمیایی، پژوهش های چگرافیای طبیعی، شماره ۶۹، صص. ۵۱-۶۵.
- میلانویج، پیتر، ۱۹۸۱، هیدروژئومورفولوژی کارست، ترجمه عبدالوحید آغاسی و احمد افراصیابیان، چاپ اول، انتشارات طرح تهییه استانداردهای مهندسی آب کشور.
- *Ashjari, J., Raeisi, E., 2007. Influences of anticlinal structure on regional flow, Zagros, Iran. Journal of Cave and Karst Studies, vol. 68, No. 3, pp. 118–129.*
- *Atkinson, T.C., 1977, Diffuse flow and Conduit Flow in limestone Terrain in Mendip Hills, Somerset (Great Britain), J. Hydrol, vol. 35, pp. 93–100.*
- *Bonacci O., 1993, karst spring hydrographs as indicators of karst aquifers. Hydrogeological sciences-journal des science hydrologiques, 38,1,2, pp. 51-62.*
- *Civita, M., 2005, Idrogeologia Applicata e Ambientale. Casa Editrice Ambrosiana, Milano, 794 pp.*
- *Halihan Todd, Wicks Carol M. , 1998, Modeling of storm responses in conduit flow aquifers with reservoirs, Journal of Hydrology, Vol. 20, pp. 82–91.*
- *LaMoreaux, P. E., 1991, History of karst hydrogeological studies, Proceedings of the Internatinoal on Environmental Changes in karst Areas I.G.U. – U.I.S.- Italy 15-27 sept; quaderin del dipartimento di geografia No. 13, pp.215-229.*
- *Maillet, E. 1905, Essais d'Hydraulique Souterraine et Fluviale, Paperback: 280 pages, Publisher: Kessinger Publishing, LLC (February 6, 2009), Language: French.*
- *Martin, J.B., Screamton, E., 2001, Exchange of matrix and conduit water with examples from the floridan aquifer. In: US Geological Survey Karst Interest Group Proceedings, Water-Resources Investigations Report, vol. 1, pp. 38–44.*
- *Padilla A, Pulido-Bosch A, Mangin. A, 1994, Relative importance of baseflow and quickflow from hydrographs of karst spring. Ground water, Vol. 32, No. 2, pp. 267–277.*
- *Samani N., 2001, Stochastic Response of Karst Aquifers to Rainfall and Evaporation, Maharlou Basin, Journal of Cave and Karst Studies, Vol. 63, No. 1, pp. 33-40.*